

Computer Graphics

From mathematics ...



$$S = \{\mathbf{p} \in \mathbf{R}^3, f(\mathbf{p}) = 0\}$$

$$\mathbf{n} = -\nabla f(\mathbf{p}) / |\nabla f(\mathbf{p})|$$

... to the screen

E. Galin
Université Lyon 1

Computer Graphics

Core

Modeling

Ray Tracing

Meshing

Computer Graphics

Introduction

Etat de l'art

Introduction

Blobs

Distance fields

Geometry

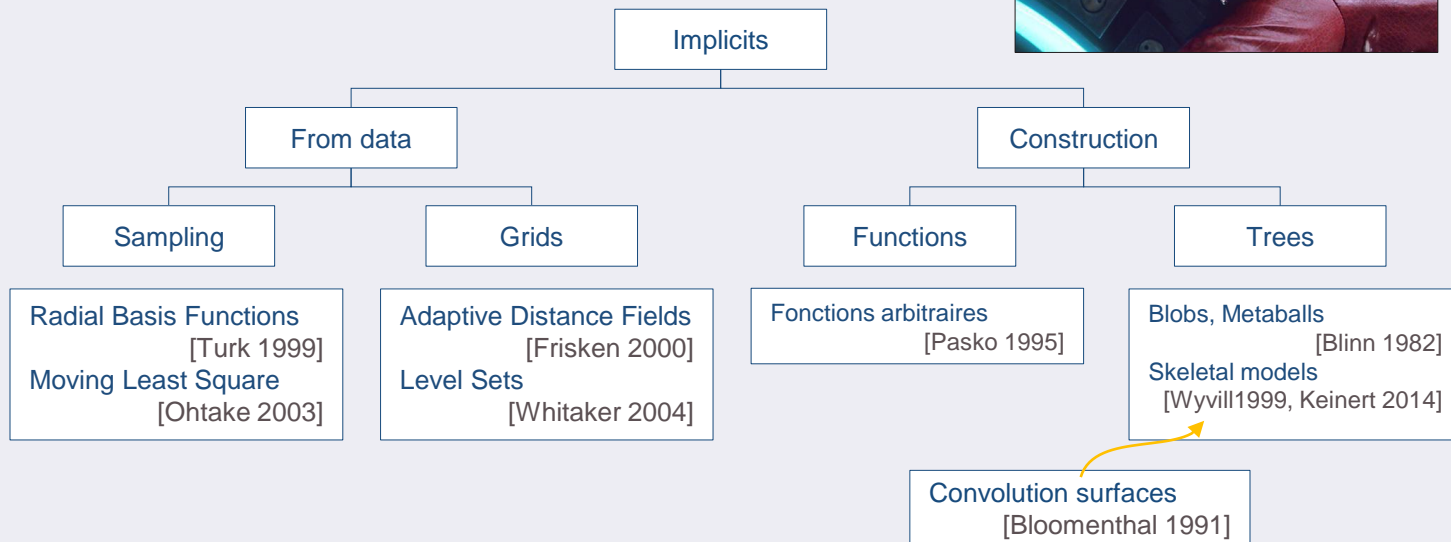
Optimization

Convolution

Problème

Construction de f
Modélisation hiérarchique
Combinaison de formes

$$S = \{\mathbf{p} \in \mathbb{R}^3, f(\mathbf{p}) = 0\}$$



James Blinn. A Generalization of Algebraic Surface Drawing. *ACM Transactions on Graphics*, 1:235, 1982.

A. Pasko, V. Adzhiev, A. Sourin, and V. Savchenko. Function representation in geometric modeling: concepts, implementation and applications. *The Visual Computer*, 2(8), 429-446, 1995.

B. Wyvill, A. Guy and E. Galin. Extending the CSG Tree (Warping, Blending and Boolean Operations in an Implicit Surface Modeling System). *Computer Graphic Forum*, 18(2), 149-158, 1999.



eric.galin@liris.cnrs.fr
<http://liris.cnrs.fr/~egalain>

Computer Graphics

Algebraics

Surfaces algébriques

Introduction

Blobs

Distance fields

Geometry

Optimization

Convolution

Formulation

Équations polynomiales de degré n

Calcul de $f(\mathbf{p})$ rapide pour un degré faible

Calcul analytique de $\nabla f(\mathbf{p})$

Formes spécifiques : cyclides [Foufou2004]

Manque de contrôle et de variété de formes

$$f(\mathbf{p}) = f(x, y, z) = \sum_{0 \leq i+j+k \leq n} a_{ijk} x^i y^j z^k$$

Intersection

Résolution de $f \circ \delta(t) = 0$ équation polynomiale de degré n

Sphere tracing [Hart1996]



Smoothed Kummer Surface



eric.galin@liris.cnrs.fr

<http://liris.cnrs.fr/~egaline>

S. Foufou, L. Garnier. Dupin cyclides as quadrics blends for shape modeling. *Computer Graphics Forum*, **23**(3), 321 – 330, 2004

Computer Graphics

Blobs

Blobs

Introduction

Blobs

Distance fields

Geometry

Optimization

Convolution

Définition

Surface S construite à partir de primitives à squelettes ponctuels

Raccordement par une somme de potentiels f_i

Iso surface d'une somme de fonctions potentiel décroissante selon la distance à des sommets

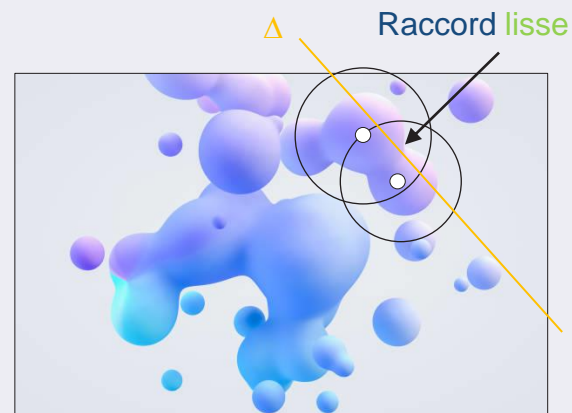
$$S = \{\mathbf{p} \in \mathbf{R}^3, f(\mathbf{p}) = T\}$$

$$f = \sum_i f_i(\mathbf{p})$$

$$f_i(\mathbf{p}) = g_i \circ d_i(\mathbf{p})$$

Fonction d'atténuation Distance au point \mathbf{c}_i

Un élément est caractérisé par un point \mathbf{c}_i , sa fonction distance d_i à \mathbf{c}_i , une fonction d'atténuation g_i



eric.galin@liris.cnrs.fr
<http://liris.cnrs.fr/~egalin>

J. Blinn. A Generalization of Algebraic Surface Drawing. *ACM Transactions on Graphics*. 1 (3): 235–256, 1982

B. Wyvill. Data Structure for Soft Objects. *The Visual Computer*, 2(4): 227 – 234, 1986

Blobs

Introduction

Blobs

Distance fields

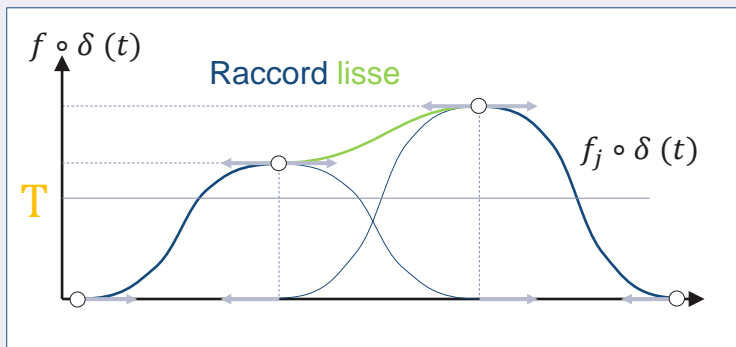
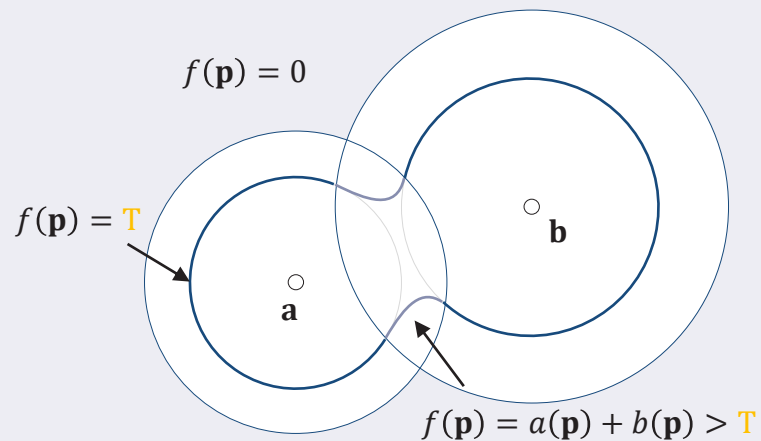
Geometry

Optimization

Convolution

Mélange

La somme des potentiels décroissants selon la distance aux sommets définit le mélange



eric.galin@liris.cnrs.fr
<http://liris.cnrs.fr/~egalain>

Fonctions d'atténuation

Introduction

Blobs

Distance fields

Geometry

Optimization

Convolution

Fonctions potentiel

Distribution de potentiel autour du squelette avec certaines propriétés

Symétrie $g(d) = g(1 - d)$, centre $g(1/2) = 1/2$

Dérivabilité aux bords $g^n(0) = 0$ et $g^n(1) = 0$

Fonction de carré de la distance d^2 pour éviter le calcul d'une racine

$$g(d) = 2d^3 - 3d^2 + 1$$

Hermite

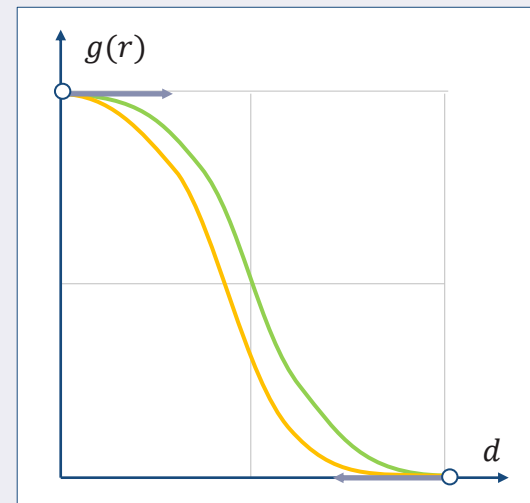
$$g(d) = (1 - d^2)^n \quad n \geq 2$$

Wyvill

$$g(d) = (1 - d^2)^2 (1 - 4/9d^2)$$

Polynomiale

	Régularité	Symétrie	Centre	Carré
Hermite	C^1	✓	✓	✗
Wyvill	C^1	✗	✓	✓
Polynomiale	C^{n-1}	✗	✗	✓



C. Blanc, C. Schlick. Extended Field Functions for Soft Object. *Implicit Surfaces Proceedings*, 1 : 21 – 32, 1995



eric.galin@liris.cnrs.fr
<http://liris.cnrs.fr/~egalain>

Arbre de construction

Introduction

Blobs

Distance fields

Geometry

Optimization

Convolution

Construction

Combinaison hiérarchique [Wyvill1999]

Primitives aux feuilles, squelettes complexe : courbes, cube, cône, cylindre, polyèdre

Opérateurs aux nœuds : mélange, union, intersection, différence, déformations

Opérateurs de composition

Union, intersection, différence

$$f_{A \cup B}(\mathbf{p}) = \max(f_A, f_B)$$

$$f_{A \cap B}(\mathbf{p}) = \min(f_A, f_B)$$

$$f_{A-B}(\mathbf{p}) = \min(f_A, 2T - f_B)$$

Les fonctions min et max sont C^0

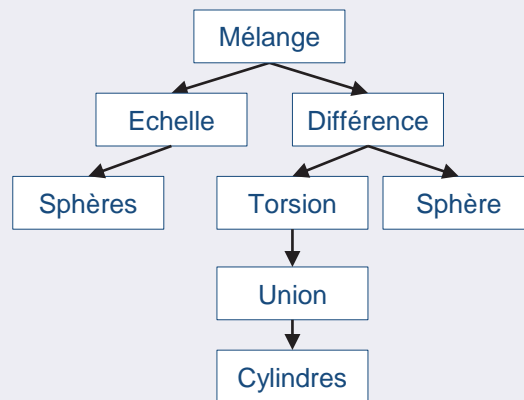
Fonctions plus régulières [Pasko1995]

$$f_{A \cup B}(\mathbf{p}) = f_A + f_B + (f_A^2 + f_B^2)^{1/2}$$

Mélange et mélange généralisé

$$f_{A \circ B}(\mathbf{p}) = f_A + f_B$$

$$f_{A * B}(\mathbf{p}) = (f_A^n + f_B^n)^{1/n} \quad n \geq 1$$



eric.galin@liris.cnrs.fr

<http://liris.cnrs.fr/~egalin>

B. Wyvill, A. Guy, E. Galin. Extending the CSG-Tree. *Computer Graphics Forum*. **18** (4), 149 – 158, 1999

Computer Graphics

Distance fields

Preliminaries

Introduction

Blobs

Distance Fields

Geometry

Optimization

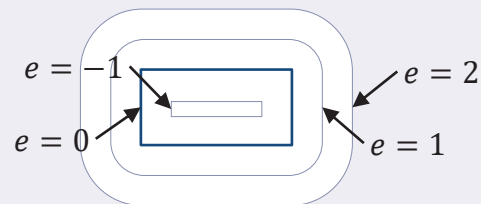
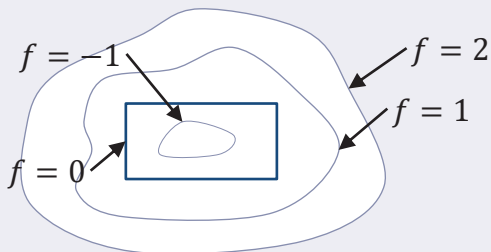
Convolution

Interpretation of distance field

In general, the signed function f is **not** the Euclidean distance to the surface S

Recall that if f is λ -Lipschitz, then f/λ is a **lower signed distance bound** to S [Hart1996]

$$\forall \mathbf{p} \in \mathbb{R}^3 \quad |f(\mathbf{p})|/\lambda < d(\mathbf{p}, S)$$



Euclidean distance

If f is the signed Euclidean distance to the surface S , then $|\nabla f(\mathbf{p})| = 1$

Eikonal equation

Therefore, is 1-Lipschitz



eric.galin@liris.cnrs.fr

<http://liris.cnrs.fr/~egalain>

J. Hart. Sphere Tracing: A Geometric Method for the Antialiased Ray Tracing of Implicit Surfaces. *The Visual Computer* 12(10), 527-545, 1996.

Primitives

Introduction

Blobs

Distance Fields

Geometry

Optimization

Convolution

Distance à un squelette

Convention $f(\mathbf{p}) < 0$ si \mathbf{p} dans l'objet, $f(\mathbf{p}) > 0$ dehors

Tore, disque arrondi, barre arrondie, sphère, sphère le long d'une courbe

$$f(\mathbf{p}) = d(\mathbf{p}, S) - r$$

Rayon

Distance (Euclidienne) au squelette

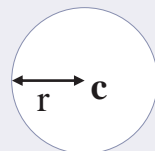
Sphère

Courbe



Vidéo

Vidéo



$$f(\mathbf{p}) = \|\mathbf{p} - \mathbf{c}\| - r$$



Primitives polygonales (boite, pyramide) : intersections de demi espaces...

$$d(\mathbf{p}, \pi) = (\mathbf{p} - \mathbf{c}) \cdot \mathbf{n}$$

eric.galin@liris.cnrs.fr
<http://liris.cnrs.fr/~egalain>

Primitives

Introduction

Blobs

Distance Fields

Geometry

Optimization

Convolution

Primitives algébriques

Équations polynomiales de degré n

f n'est **pas** une
distance signée

C'est une pseudo distance

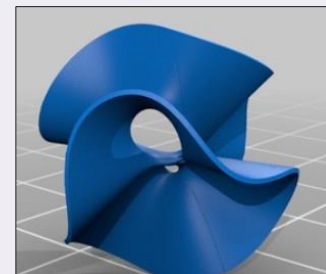
$$f(\mathbf{p}) = \sum_{0 \leq i+j+k \leq n} a_{ijk} x^i y^j z^k$$

Coordonnées de \mathbf{p}

Calcul de $f(\mathbf{p})$ rapide pour un degré faible

Calcul analytique de $\nabla f(\mathbf{p})$ par dérivation

Sur Ω borné, si on connaît $\lambda = \sup_{\Omega} |\nabla f|$, alors $f(\mathbf{p})/\lambda$ est une borne de d



Columpius

$$x^3y + xz^3 + y^3z + z^3 + 7z^2 + 5z = 0$$



eric.galin@liris.cnrs.fr

<http://liris.cnrs.fr/~egalin>

J. Blinn, A Generalization of Algebraic Surface Drawing, *IEEE Transactions on Graphics*, 1(3), 235 – 256, 1982

Opérateurs de combinaison

Introduction

Blobs

Distance Fields

Geometry

Optimization

Convolution

Opérateurs booléens

Union, intersection, différence

$$f_{A \cup B}(\mathbf{p}) = \min(f_A, f_B)$$

$$f_{A \cap B}(\mathbf{p}) = \max(f_A, f_B)$$

$$f_{A-B}(\mathbf{p}) = \max(f_A, -f_B)$$

Mélange

Dans le domaine des Blobs, on calcule $f_A + f_B$ simplement [Wyvill1999]

Modèle plus complexe pour les distances signées

$$f_{A \cup^* B}(\mathbf{p}) = \min(f_A, f_B) - g(f_A, f_B)$$

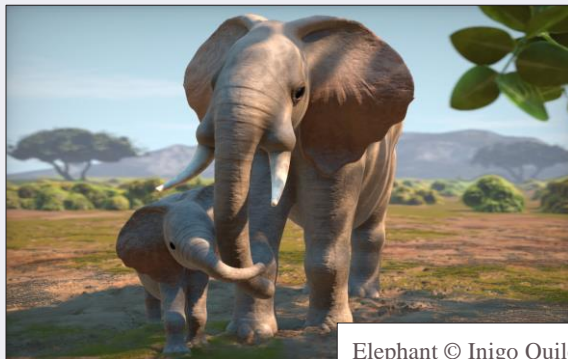
Union

Offset

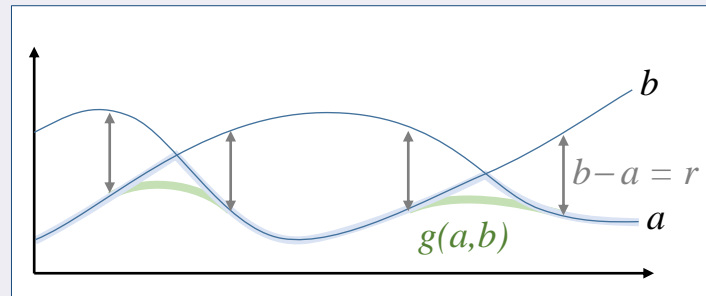
$$\text{Correction } g(a, b) = \frac{1}{6} r h^3$$

avec $h = \max(r - |a - b|, 0) / r$

Rayon de mélange



Elephant © Inigo Quilez



B. Wyvill, A. Guy, E. Galin. Extending the CSG-Tree. *Computer Graphics Forum*. **18** (4), 149 – 158, 1999



eric.galin@liris.cnrs.fr
<http://liris.cnrs.fr/~egaline>

Opérateurs de combinaison

Introduction

Blobs

Distance Fields

Geometry

Optimization

Convolution

Opérateurs Booléens de Rvachev

Fonctions sont C^1 presque partout, C^0 uniquement quand $f_A = f_B = 0$ [Pasko 1995]

$$f_{A \cup B}(\mathbf{p}) = f_A + f_B + (f_A^2 + f_B^2)^{1/2}$$

$$f_{A \cap B}(\mathbf{p}) = f_A + f_B - (f_A^2 + f_B^2)^{1/2}$$

$$f_{A-B}(\mathbf{p}) = f_{A \cap \bar{B}}$$

On peut augmenter la continuité à l'ordre $n/2$ en faisant le produit par $(f_A^2 + f_B^2)^{n/2}$

Opérateur de mélange

Union combinée à une correction à support infini [Pasko 1995]

$$f_{A \cup^* B}(\mathbf{p}) = f_{A \cup B}(\mathbf{p}) - g(f_A, f_B)$$

Union

Offset

?

$$g(a, b) = \frac{a}{1 + \frac{f_A}{r_A} + \frac{f_B}{r_B}}$$

Limite des opérateurs binaires

Opérateurs non associatifs $(A \cup^* B) \cup^* C \neq A \cup^* (B \cup^* C)$

Le mélange des Blobs était meilleur



eric.galin@liris.cnrs.fr

http://liris.cnrs.fr/~egalain

A. Pasko, V. Adzhiev, A. Sourin, V. Savchenko. Function representation in geometric modeling. *The Visual Computer*, 11, 429-446, 1995

Autres opérateurs de mélange

Introduction

Blobs

Distance Fields

Geometry

Optimization

Convolution

Fonctions soft max

Approximation s lisse du maximum

Opérateur d'intersection n -aire

Borne : $x_m \leq s(x) \leq x_m + \ln n$

$$s(x) = \ln \left(\sum_i e^{x_i} \right) = x_m + \ln \left(1 + \sum_{i \neq m} e^{x_i - x_m} \right)$$

$x_i - x_m < 0$

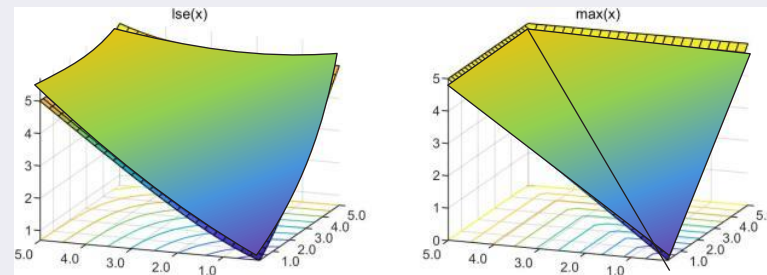
Evite les problèmes de précision

Mellow max

Variante

$$f_{U^* A_i}(\mathbf{p}) = -\frac{1}{r} \ln_n \left(\sum_i e^{-f_{A_i}(\mathbf{p})/r} \right)$$

$$\ln_n(x) = \ln x / \ln n$$



eric.galin@liris.cnrs.fr

<http://liris.cnrs.fr/~egalain>

Transformations affines

Introduction

Blobs

Distance Fields

Geometry

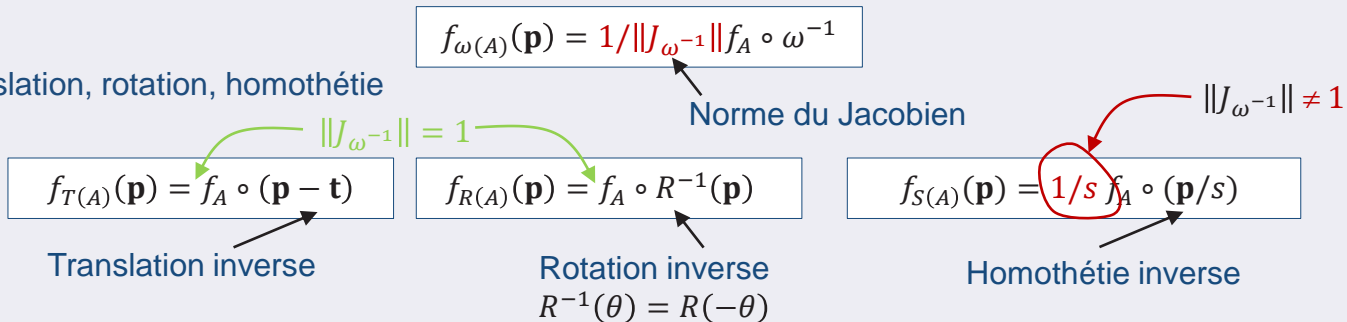
Optimization

Convolution

Principe

En modélisation implicite, on déforme l'espace par la transformation inverse

Translation, rotation, homothétie



Les compositions de transformations ne sont **pas commutatives**

Matrices de rotation

Différentes matrices selon les repères [Shirley]

$$R_x(\theta) = \begin{pmatrix} 1 & 0 & 0 \\ 0 & c & -s \\ 0 & s & c \end{pmatrix}$$

où $c = \cos \theta$ et $s = \sin \theta$

$$R_u(\theta) = \begin{pmatrix} x^2 a + c & xya - sz & xza + sy \\ xya + sz & y^2 a + c & yza - sx \\ xza - sy & yza + sx & z^2 a + c \end{pmatrix}$$

où $a = 1 - \cos \theta$

P Shirley. Fundamentals of Computer Graphics. Third Edition. AK Peters



eric.galin@liris.cnrs.fr

http://liris.cnrs.fr/~egalin

Déformations

Introduction

Blobs

Distance Fields

Geometry

Optimization

Convolution

Définition

Déformation d'une région de l'espace

Torsion, écrasement [Barr1984]

$$f_{\omega(A)}(\mathbf{p}) = 1/\|\mathbf{J}_{\omega^{-1}}\| f_A \circ \omega^{-1}$$

La fonction ω doit être **inversible**

Expression du **Jacobien** de ω^{-1} complexe

$$\nabla f_{\omega(A)}(\mathbf{p}) = (\mathbf{J}_{\omega^{-1}})^t(\mathbf{p}) \nabla f_A(\mathbf{p})$$

Perturbation par bruit

Déplacement stochastique $\delta(\mathbf{p})$

Fractional Brownian Motion

$$f_{\omega(A)}(\mathbf{p}) = f_A \circ (\mathbf{p} - \delta(\mathbf{p}))$$

Bruit n ou turbulence t



eric.galin@liris.cnrs.fr

<http://liris.cnrs.fr/~egalain>

A. Barr. Global and Local Deformation of Solid Primitives. *Siggraph'84 Proceedings*. 18, 21 – 30, 1984

Composition

Introduction

Blobs

Distance Fields

Geometry

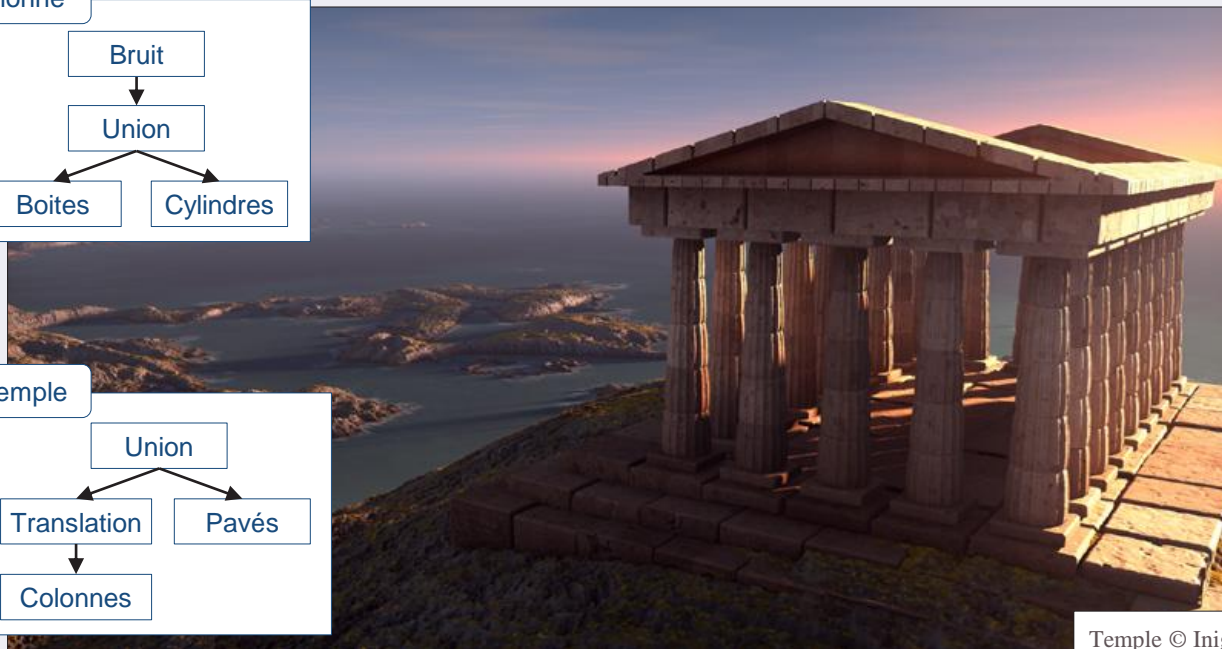
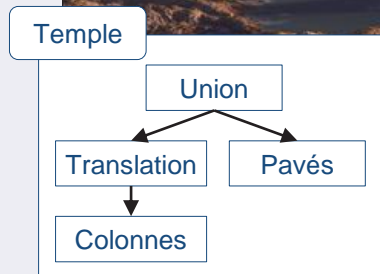
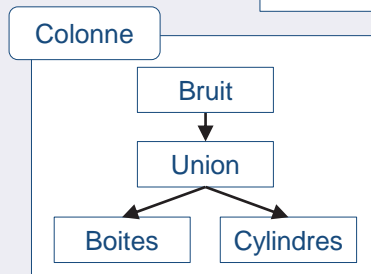
Optimization

Convolution

Formes complexes

Construction de **formes complexes** par assemblage hiérarchique de primitives
Placement d'**instances** et composition dans le graphe de scène

Graphe de scène \Leftrightarrow Composition de fonctions \Leftrightarrow Appels



Temple © Inigo Quilez



eric.galin@liris.cnrs.fr
<http://liris.cnrs.fr/~egalin>

Computer Graphics

Geometric primitives

Distance à un segment

Introduction

Blobs

Distance Fields

Geometry

Optimization

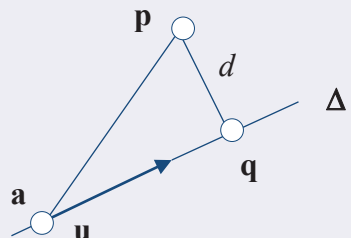
Convolution

Distance à une droite

Pythagore dans le triangle apq

$$d^2(\mathbf{p}, \Delta) = (\mathbf{p} - \mathbf{a})^2 - ((\mathbf{p} - \mathbf{a}) \cdot \mathbf{u})^2$$

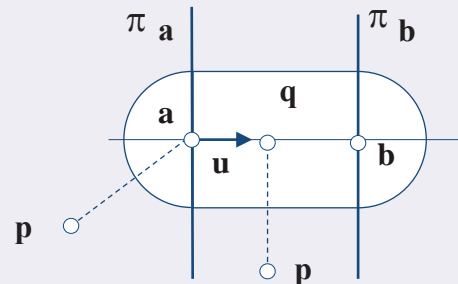
Carré de la distance



Distance à un segment

Calcul de $l = (\mathbf{p} - \mathbf{a}) \cdot \mathbf{u}$ où $\mathbf{u} = (\mathbf{b} - \mathbf{a}) / |\mathbf{b} - \mathbf{a}|$

$$d^2(\mathbf{p}, [\mathbf{ab}]) = \begin{cases} (\mathbf{p} - \mathbf{a})^2 & \text{si } l < 0 \\ (\mathbf{p} - \mathbf{a})^2 - ((\mathbf{p} - \mathbf{a}) \cdot \mathbf{u})^2 & \text{si } 0 < l < |\mathbf{b} - \mathbf{a}| \\ (\mathbf{p} - \mathbf{b})^2 & \text{sinon} \end{cases}$$



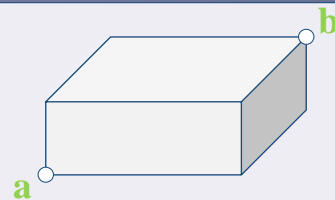
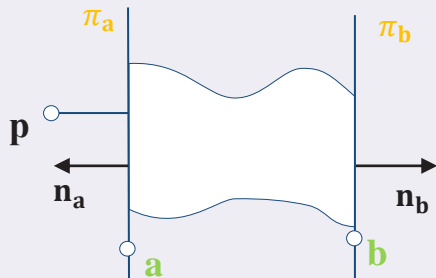
eric.galin@liris.cnrs.fr
<http://liris.cnrs.fr/~egalin>

Distance à une boîte

- Introduction
- Blobs
- Distance Fields
- Geometry
- Optimization
- Convolution

Distance Euclidienne

On utilise la distance entre \mathbf{p} et deux plans parallèles



$$d(\mathbf{p}, \pi_a \cap \pi_b) = \begin{cases} 0 & \text{si } \mathbf{a}_x < \mathbf{p}_x < \mathbf{b}_x \\ \mathbf{a}_x - \mathbf{p}_x & \text{si } \mathbf{p}_x < \mathbf{a}_x \\ \mathbf{p}_x - \mathbf{b}_x & \text{si } \mathbf{p}_x > \mathbf{b}_x \end{cases}$$

$$d^2(\mathbf{p}, B) = d^2(\mathbf{p}, S_x) + d^2(\mathbf{p}, S_y) + d^2(\mathbf{p}, S_z)$$

Distance signée

Soit $\mathbf{c} = (\mathbf{a} + \mathbf{b})/2$ le centre, $\tilde{\mathbf{p}} = \mathbf{p} - \mathbf{c}$ et $\mathbf{d} = (\mathbf{b} - \mathbf{a})/2$ la diagonale

On tire parti de la symétrie en définissant $\mathbf{q} = \text{abs}(\tilde{\mathbf{p}}) - \mathbf{d}$

0 si $\mathbf{q} \notin B$ Maximum de $\mathbf{q}_i < 0$ si $\mathbf{q} \in B$

$$d(\mathbf{p}, B) = \min(\max(\mathbf{q}_x, \mathbf{q}_y, \mathbf{q}_z), 0) + |\max(\mathbf{q}, 0)|$$

Norme Euclidienne

0 si $\mathbf{q} \in B$

Vecteur nul



eric.galin@liris.cnrs.fr
http://liris.cnrs.fr/~egalin

Distance à un cercle ou un disque

Introduction

Blobs

Distance Fields

Geometry

Optimization

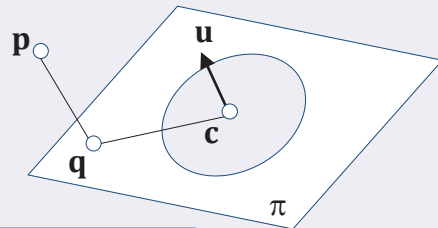
Convolution

Cercle

Par construction $d(\mathbf{p}, C)^2 = d(\mathbf{p}, \pi)^2 + ((\mathbf{c} - \mathbf{q}) - r)^2$ où \mathbf{q} projeté de \mathbf{p}

```
double Circle::R(const Vector& p) const {  
    Vector n = p - c;  
    double h = n * u;  
    double d = n * n; // Distance to center  
    double y = d - h * h; // Radial distance  
    y = r - sqrt(y); // Distance to circle  
    return sqrt(y * y + h * h);  
}
```

```
if (y < r*r) { return z; } // Distance to disc
```



Disque

On teste si $|\mathbf{c} - \mathbf{q}| < r$: dans ce cas où l'on calcule la distance au plan π



eric.galin@liris.cnrs.fr
<http://liris.cnrs.fr/~egalin>

Distance à une courbe

Distance d'un point à une courbe

Soit Γ une courbe d'équation paramétrée $\mathbf{c}(t)$, $t \in [0,1]$

$$d^2(\mathbf{p}, \Gamma) = \min_{t \in [0,1]} (\mathbf{c}(t) - \mathbf{p})^2$$

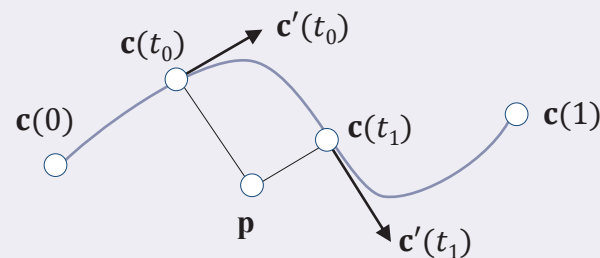
Polynôme de degré n

Recherche des racines de l'équation

$$d^2(\mathbf{p}, \Gamma)' = 0 \Leftrightarrow (\mathbf{c}(t) - \mathbf{p}) \cdot \mathbf{c}'(t) = 0$$

Equation de degré $2n - 1$

Coût relatif de $\approx 1:20$ pour une courbe quadrique par rapport à une cubique



Introduction

Blobs

Distance Fields

Geometry

Optimization

Convolution



eric.galin@liris.cnrs.fr

<http://liris.cnrs.fr/~egalin>

Distance à des formes polygonales

Introduction

Blobs

Distance Fields

Geometry

Optimization

Convolution

Polygone

Minimum de la distance aux segments et test d'intérieur, coût en $O(n)$

$$d(\mathbf{p}, \Pi) = s(\mathbf{p}) \min_{i \in [0, n-1]} d(\mathbf{p}, \mathbf{e}_i)$$

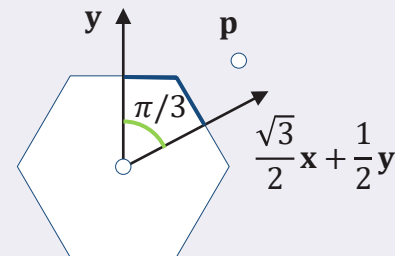
Signe > 0 si extérieur à Π , < 0 sinon Arête $\mathbf{e}_i = \mathbf{c}_i \mathbf{c}_{i+1}$

```
double Polygon2::Signed(const Vector2& p) const
{
    double r = sqrt(Contour(p));      // Distance to contour
    return Inside(p) ? r : -r;
}
```

Hexagone, polygones réguliers

Accélération grâce aux symétries, coût en $O(1)$

Distance à deux droites ou à un sommet



eric.galin@liris.cnrs.fr
<http://liris.cnrs.fr/~egalain>

Surfaces de révolution

Introduction

Blobs

Distance Fields

Geometry

Optimization

Convolution

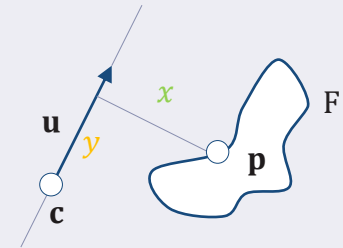
Méthode

Forme $F \subset \mathbf{R}^2$ définie par sa distance signée $g: \mathbf{R}^2 \rightarrow \mathbf{R}$

Surface de révolution $S \subset \mathbf{R}^3$ d'axe d'origine \mathbf{c} et de direction \mathbf{u}

$$d(\mathbf{p}, F) = g((x, y))$$

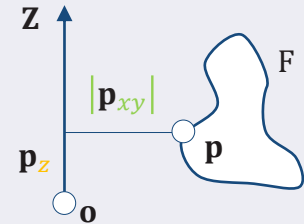
$$x = (\mathbf{p} - \mathbf{c})^2 - ((\mathbf{p} - \mathbf{c}) \cdot \mathbf{u})^2 \quad y = (\mathbf{p} - \mathbf{c}) \cdot \mathbf{u}$$



Surface de révolution $R \subset \mathbf{R}^3$ d'axe z

$$d(\mathbf{p}, S) = g((|\mathbf{p}_{xy}|, \mathbf{p}_z))$$

Distance à l'axe z Coordonnées en z



eric.galin@liris.cnrs.fr
<http://liris.cnrs.fr/~egalain>

Computer Graphics

Performance and optimization

Optimisations

Introduction

Blobs

Distance Fields

Geometry

Optimization

Convolution

Trigonometrie

Calcul de $\cos(2k\pi/n)$ et $\sin(2k\pi/n)$ dans une boucle

Set $\mathbf{R}_\theta = \begin{pmatrix} \cos\theta & -\sin\theta \\ \sin\theta & \cos\theta \end{pmatrix}$ with $\theta = 2\pi/n$

Set $\mathbf{u} = (1,0)$

For i from 0 to n

Computations with \mathbf{u}

$\mathbf{u} \leftarrow \mathbf{R}_\theta \cdot \mathbf{u}$

Stores $\cos(2k\pi/n)$ et $\sin(2k\pi/n)$

Cost $4 \times$ and $2 \pm$ instead of trigonometrics



eric.galin@liris.cnrs.fr
<http://liris.cnrs.fr/~egalin>

Computer Graphics

Convolution surfaces

Convolution surfaces

Introduction

Blobs

Distance Fields

Geometry

Optimization

Convolution

Définition

Convolution d'une fonction de géométrie g avec un noyau k

A l'origine, g est une fonction caractéristique et k le noyau Gaussien [Bloomenthal1991]

$$f(\mathbf{p}) = g * k(\mathbf{p}) = \int_{\mathbb{R}^3} g(\mathbf{q})k(|\mathbf{p} - \mathbf{q}|) d\mathbf{q}$$

Géométrie, squelette

Noyau $k(x) = e^{-x^2}$

Support **infini**, coûteux

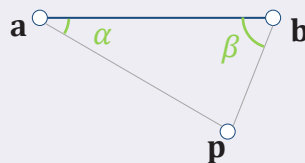
Autres noyaux possibles pour permettre un calcul analytique [Sherstyuk 1999]

$$k(x) = \frac{1}{1 + \sigma^2 x^2}$$

Fonction de Cauchy [Sherstyuk 1998]

$$k(x) = \frac{1}{x^3}$$

Puissance inverse [Cani 2001, Hornus 2003]



$$f(\mathbf{p}) = \frac{\sin \alpha - \sin \beta}{d^2(\mathbf{p}, \mathbf{ab})}$$

J. Bloomenthal, K. Shoemake. Convolution surfaces. *Computer Graphics* **25**(4), 251-255, 1991.

A. Sherstyuk. Kernel functions in convolution surfaces: a comparative analysis. *The Visual Computer* **15**(4), 171-182, 1999.

J. McCormack, A. Sherstyuk. Creating and rendering convolution surfaces. *Computer Graphics Forum* **17**(2), 113-120, 1998.

Hornus, S., Angelidis, A., Cani, M.-P., Implicit modelling using subdivision curves. *The Visual Computer* **19**(2-3), 94-104, 2003.



eric.galin@liris.cnrs.fr
http://liris.cnrs.fr/~egalain